XXII, № 3, 1969

химическая технология

УДК 66.046.4+691.4

ИССЛЕДОВАНИЕ ФИЗИКО-ХИМИЧЕСКИХ ПРОЦЕССОВ ОБЖИГА ТОНКОКЕРАМИЧЕСКИХ МАТЕРИАЛОВ

Х. О. ГЕВОРКЯН

Ереванский политехнический институт им. К. Маркса

Поступило 26 III 1968

Выполнено экспериментальное исследование обжига тонкокерамических материалов. Испытанием обожженных при разных температурах (950—1350°C) образцов построены кривые спекания.

Микроскопическим и рентгенографическим исследованием установлены основные фазовые изменения при обжиге составов, содержащих каолин, кварц и полевой шпат. Конечный продукт обжига—фарфор—имеет сложную микроструктуру, основными элементами которой являются—муллит первичный и вторичный, остаточный кварц, стекло полевошпатовое и кремнезем—полевошпатовое, а также в небольшом количестве метакристобалит.

Рис. 2. табл. 4. библ. ссылок 3.

Физико-химические процессы обжига фарфора и других тонкокерамических материалов были предметом многих исследований [1]. Тем не менее эти процессы еще не получили четкого толкования. Все еще нет общепринятой теории процессов обжига. Такая теория необходима для рационального управления производственным обжигом и получения высококачественных изделий.

Важнейшие тонкокерамические массы содержат смеси каолина, кварца и полевого шпата, которые и являются предметом данного исследования.

В качестве исходного сырья для приготовления опытных керамических масс были применены просяновский каолин, чупинский полевой шпат и образец жильного кварца (табл. 1).

Таблица ¹

Компоненты	Содержание окислов, °/о							
массы	SiO ₂	Al ₂ O ₃	Fe ₂ O ₃	CaO	MgO	Na ₂ O	K ₂ O	п. п. п.
Каолин	46,69	37,42	0,44	0,79	0,55	0,12	0,80	13,35
Кварц	99,1	0,28	0,13	0,09	0,20	_	-	1 to 1
Полевой шлат	64,74	19,10	0,10	0,19	0,17	2,44	12,51	.0,71

В таблице 2 приведены составы изучаемых масс.

Таблица 2

№ массы	Содержание компонентов, 0/0						
	калоин (прокаленный)	кварц	полевой шлат				
70	60	40	0				
71	54	36	10				
72	48	32	20				
73	42	28	30				
74	36	24	40				
76	24	16	60				

Рассматриваемые трехкомпонентные смеси каолина, кварца и полевого шпата входят в тройную систему $SiO_2-Al_2O_3-K_2O_3$

Изучаемые нами составы подобраны таким образом, что на диаграмме состояния они располагаются на прямой, соединяющей точки 100% K₂O·Al₂O₃·6SiO₂ и 100% массы 70 (содержащей 60% Al₂O₃·2SiO₂ и 40% SiO₂): для этого разреза на рисунке 1 приведена диаграмма изменения фазовых составов изучаемых масс, построенная на основании диаграммы равновесия системы SIO₂-Al₂O₃-K₂O [2]. Возможности использования данных диаграммы равновесия для процессов производственного обжига весьма ограничиваются, так как в последних не достигается равновесного состояния и продукты керамического обжига получаются преимущественно в метастабильном состоянии. Тем не менее, при изучении производственного процесса положительное значение соответствующей диаграммы состояния заключается в том, что она определяет последовательность выделения кристаллических фаз, а также то предельное состояние, к которому стремится система; этим определяется направление физико-химических процессов заводского обжига.

Изучаемые массы были приготовлены раздельным помолом исходных материалов до остатка на сите 10000 отв./см² не более 2^0 /0 с последующим их перемешиванием в фарфоровой мельнице. Образцы $(10,0 \times 1,0 \times 0,5$ см) были изготовлены полусухим прессованием на гидравлическом прессе под давлением $200 \, \kappa r/cm^3$, при влажности 10^0 /0 и обжигались в лабораторной печи при 950, 1050, 1100, 1150, 1200, 1250, 1300 и 1350° со скоростью нагрева 3° в минуту и выдержке 150 минут. На рисунке 2 приведены результаты испытания обожженных образцов (объемный вес, истинная пористость, удельный вес и общая усадка). Для тех же образцов определяли фазовые составы как микроскопическим описанием прозрачных шлифов с помощью поляризационного микроскопа, так и способом рентгеноструктурного анализа применением камеры типа "ВНИИО-К-4" и облучением ортофокусной трубкой "ВНИИО-Т 4" [3].

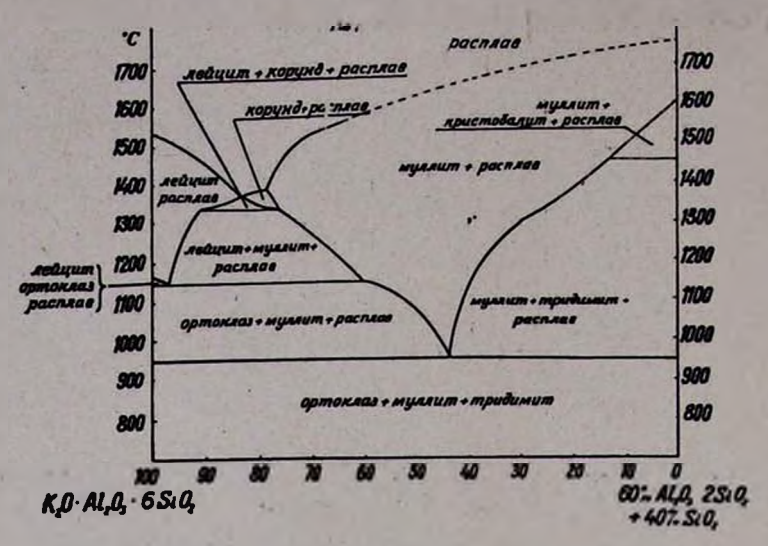


Рис. 1. Диаграмма фазовых изменений изучаемых масс.

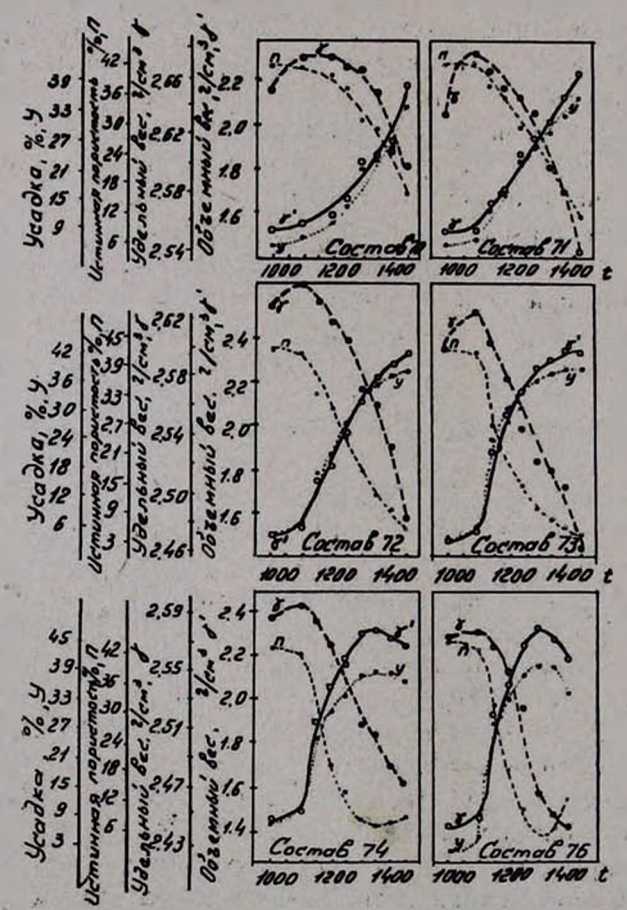


Рис. 2. Зависимость керамических свойств от темлературы обжига.

В таблице 3 приведены фазовые составы обожженных образцов, определенные с помощью соответствующих рентгенограмм, вычислением межплоскостных расстояний и визуальным определением интенсивности линий на рентгенограммах по 10-балльной системе.

Таблица 3

V 12 11 12	Температура обжига. С					
№ массы	1050	1150	1250 Муллит			
70	Кварц	Муллит				
(без полевого	7-Al2O3	Кварц	Кварц			
шпата)		A STATE OF THE STA	Кристобалит			
72, 73, 74	Кварц; 7-АІ2О3	Муллит	Муллит			
(содержащие по- левой шпат)		Кварц	Кварц			
	Измененный полевой шпат	Измененный полевой шпат	Кристобалит			

На основании данных физико-механических испытаний обожженных образцов, а также их рентгенографического и микроскопического изучения можно сделать следующие выводы о физико-химических процессах обжига составов, содержащих каолин, кварц и полевой шпат:

- 1) Интенсивное уплотнение масс начинается с 1150°, что соответствует плавлению полевого шпата и нарастанию количества жид-кой фазы.
- 2) Увеличение содержания полевого шпата в массе способствует снижению температурной области спекания (табл. 4).

Таблица 4

Содержание п. шпата, до 20 20—30 30—40 40—60

Температурная область >1350 1300—1400 1250—1370 1200—1330 спекания, °C

3) Для составов, содержащих 30% и более полевого шпата, на кривых спекания имеется точка максимального уплотнения, после которой с повышением температуры обжига объемный вес снижается, а пористость увеличивается; последнее связано с явлением вторичного порообразования и развитием стекловидной фазы. В соответствующих шлифах микроскопически наблюдается интенсивное развитие пор сферической формы. Это вторичное порообразование обусловлено расширением газовых включений и пластической деформацией вязкого расплава.

4) Перечисленные изменения обусловлены следующими физико-химическими процессами, которые происходят при обжиге тонко-ке-

рамических материалов:

а) В начальной стадии обжига до 1100 преобладают твердофазовые процессы, важнейшими из которых являются изменения каолинита при нагревании; продуктами этих процессов являются первичный муллит, аморфный кремнезем, кварц и слабоизмененный полевой шпат с признаками оплавления зерен.

б) В области 1100—1150° образуется жидкая фаза в результате плавления полевого шпата. Жидкостное сцепление кристаллических зерен обусловливает интенсивное спекание—рост механической проч-

ности и плотности материала.

- в) По мере повышения температуры от 1150 до 1250° ускоряется взаимодействие жидкой фазы с кристаллическими зернами (кварц и муллит). Происходит почти полное остеклование полевого шпата и периферическое оплавление зерен кварца. Кроме полевошпатового стекла образуется также стекло сложного состава преимущественно кремнезем полевошпатовое.
- г) В области 1250—1350° происходят основные процессы фарфорообразования в результате интенсивного взаимодействия фаз. Растет количество неоднородного кремнезем—полевошпатового стекла переменного состава. В некоторых участках микроструктуры стекло переплетается кристалликами игловидного муллита. В этот же период происходят сравнительно медленные полиморфные превращения кварца. Угловатые зерна кварца окружены каемкой метастабильного кристобалита. Наблюдаются также поры сферической формы, связанные с процессами вторичного порообразования.
- д) Выше 1350, в конечной стадии обжига происходят диффузионные процессы, обусловленные микрогетерогенностью массы и разностью концентраций в пределах каждого микроучастка. В результате кристаллические новообразования распределяются более равномерно, стеклофаза гомогенизируется, что способствует улучшению качества изделий.
- 5) При чрезмерном повышении температуры, особенно выше 1350°, увеличивается количество замкнутых пор сферической формы. Соответствующие кривые спекания (рис. 2) показывают, что рост размера сферических пор и увеличение их количества очень ускоряются в температурной области после точки перегиба на кривой спекания, а следовательно, это явление может быть объяснено процессом вторичного порообразования в стадии "пережога" изделий.
- 6) Конечный продукт обжига фарфор имеет сложную микроструктуру, основными элементами которой являются — муллит первичный и вторичный (игловидный), остаточный кварц, стекло полевошпатовое и кремнезем — полевошпатовое, а также в небольшом количестве метакристобалит.

ՆՈՒՐՔ ԿԵՐԱՄԻԿԱԿԱՆ ՆՅՈՒԹԵՐԻ ԹՐԾՄԱՆ ՖԻԶԻԿԱ–ՔԻՄԻԱԿԱՆ ՊՐՈՑԵՍՆԵՐԻ ՈՒՍՈՒՄՆԱՍԻՐՈՒԹՅՈՒՆ

w. 2. ԳԵՎՈՐԳՅԱՆ

Ամփոփում

Կատարված է նուրը կերամիկական նյութերի թրծման փորձնական ուսումնասիրություն։ Տարբեր ջերմաստիձաններում 950—1350° C թրծված նըմուշների փորձարկման եղանակով կառուցված են նրանց մասնակի հալման կորերը։ Միկրոսկոպիական և ռենտգենագրաֆիական հետաղոտությամբ որոշված են այն ֆազային փոփոխությունները, որոնք կատարվում են կաոլինի, բվարցի և դաշտային սպաթի խառնուրդների թրծման ժամանակ։ Բարձր ջերմակում են մուլիտ, մնացորդային քվարց, դաշտասպաթային և սիլիկահողդաշտասպաթային ապակի և համեմատաբար փոքր քանակով՝ մեթակրիստոբալիտ։

ЛИТЕРАТУРА

- 1. П. П. Будников, Х. О. Геворкян, ЖПХ, 2, 125 (1951).
- 2. В. Эйтель, Физическая химия силикатов, ИЛ, Москва, 1962, стр. 474.
- 3. И. Е. Дудавский, Ф. И. Чуприкин, Зав. лаб., 8, 23 (1950).